

## 碎波後の波動エネルギーと連行気泡量の効果について

○ 名古屋大学工学部 正会員 岩田好一郎  
 東急建設株式会社 正会員 布藤 省三  
 日本テラボッド(株) 正会員 小山 裕文

1. 緒言： 碎波は気泡と連行する臭い非碎波の波と本質的に異なる。本報では、碎波していはる波は気泡連行領域の流体の平均密度は気泡を連行しない領域より小さくいう観察に基づき、連行気泡量を考慮してエネルギー流束の平衡式を誘導する。ついて、水理実験を行なって気泡連行域と水粒子速度の計測を行なって波動エネルギーと波動エネルギー流束を算定する。そして、連行気泡量の寄与について検討しようとするものである。

2. エネルギー平衡式： 二次元( $x-z$ 平面)の現象を取り扱う。連続式(式(1))とN-S方程式(式(2))と式(3)よりエネルギー平衡式を誘導する。なお、 $\rho$ : 流体密度、 $x$ と $z$ : 水平軸と鉛直軸、 $u$ と $w$ : 水平方向と鉛直方向の水粒子速度、 $\mu$ : 分子粘性、 $P$ : 圧力、 $g$ : 重力加速度、 $\nabla$ : ラプラシアン、

$$\frac{\partial \rho}{\partial t} + \frac{\partial}{\partial x}(\rho u) + \frac{\partial}{\partial z}(\rho w) = 0 \quad \dots (1), \quad \rho \frac{D u}{D t} = -\frac{\partial P}{\partial x} + \mu \nabla^2 u + \frac{1}{\rho} \mu \frac{\partial}{\partial x} \left\{ \frac{\partial u}{\partial x} + \frac{\partial w}{\partial z} \right\} \quad \dots (2)$$

$$\rho \frac{D w}{D t} = -\rho g \frac{\partial P}{\partial z} + \mu \nabla^2 w + \frac{1}{\rho} \mu \frac{\partial}{\partial z} \left\{ \frac{\partial u}{\partial x} + \frac{\partial w}{\partial z} \right\} \quad \dots (3)$$

である。さて、水深は一定水深とし、水底は $z=-h$ とすると。さて、式(2)と式(3)を水底 $z=-h$ から自由表面まで積分し、水底条件と自由表面での力学的および運動学的条件を満足するから変形して後、 $N$ 周期の時間平均をとると、エネルギー流束の保存則は次式で与えられる。

$$\begin{aligned} \frac{\partial}{\partial t} \int_{-h}^{\eta} \left[ \frac{1}{2} \rho (u^2 + w^2) + \rho g z \right] dz + \frac{\partial}{\partial x} \int_{-h}^{\eta} \left[ u \left\{ \frac{1}{2} \rho (u^2 + w^2) + \rho g z - P \right\} \right] dz &= - \int_{-h}^{\eta} P \left( \frac{\partial u}{\partial x} + \frac{\partial w}{\partial z} \right) dz \\ &+ \int_{-h}^{\eta} \mu [u \nabla^2 u + w \nabla^2 w] dz + \int_{-h}^{\eta} \frac{1}{\rho} \mu \left[ u \frac{\partial}{\partial x} \left( \frac{\partial u}{\partial x} + \frac{\partial w}{\partial z} \right) + w \left( \frac{\partial u}{\partial x} + \frac{\partial w}{\partial z} \right) \right] dz \end{aligned} \quad \dots (4)$$

式(4)の右辺のエネルギー逸散項は碎波後の波に対してそのまま適用できるが、式の展開上そのままで示した。つぎに、波動内部の $-ha(x) \leq z \leq \eta$ (但し $-h < ha(x) < h$ )の範囲に気泡が連行され、この領域の平均流体密度 $\rho_{av}$ ( $0 < \rho_{av} < 1$ )で考えられるとする。圧力 $P$ は2次オーダーの近似で充てん $\rho_{av}$ 、気泡連行を考慮した場合のエネルギー流束の平衡式は次式で与えられる。

$$\frac{\partial}{\partial t} (E) + \frac{\partial}{\partial x} (F) - (1-\rho_{av}) \left[ \frac{\partial}{\partial t} (E_{av}) + \frac{\partial}{\partial x} (F_{av}) \right] = E_x \quad \dots (5)$$

ここで、  
 $E = \int_{-h}^{\eta} \left\{ \frac{1}{2} \rho (u^2 + w^2) + \rho g z \right\} dz, \quad E_{av} = \int_{-ha}^{\eta} \left\{ \frac{1}{2} \rho (u^2 + w^2) + \rho g z \right\} dz$   
 $F = \int_{-h}^{\eta} u \left\{ \frac{1}{2} \rho (u^2 + w^2) + \rho g z \right\} dz, \quad F_{av} = \int_{-ha}^{\eta} u \left\{ \frac{1}{2} \rho (u^2 + w^2) + \rho g z \right\} dz + \int_{-h}^{ha} u \rho g (ha + z) dz \}$

$E_c$  はエネルギー逸散項であり、その表示式につけては以下で触れない。式(5)の左辺第3項と第4項は気泡連行する場合に考慮すべき補正項であり、気泡連行しない場合( $k=1$ )は消滅する項である。

3. 水理実験: 実験は名古屋大学工学部土木工学科の室内鋼製二次元造波水槽(25m × 0.9m × 0.78m)で行なわれた。前端部が1/8勾配のSTEP型水平床で碎波の実験を行なつて。実験波は波形勾配( $H_0/L_0$ ;  $H_0 \times L_0$ は沖波高と沖波長)0.051, 0.096と0.114の3種類の規則波である。水面移形は壓気容量式水位計<sup>2)</sup>、流速はキャンティレバー型流速計<sup>2)</sup>で計測された。流速は碎波直前から碎波後の範囲で200地点で計測された。碎波領域を16mm高速シネカメラ(60コマ/秒)で撮影し、写真解析より決定した。図-1はheavy plunging breaker ( $H_0/L_0 = 0.114$ の波)に対する4段平均の気泡連行領域の下限値  $ha(x)$  を模式的に示したものであるが、実験によれば、次式で近似できだ。

$$\begin{cases} -ha(x) = \eta_{bc}(1 - \frac{x}{x_p}) & ; 0 \leq x \leq x_p \\ -ha(x) = ha_{max}(x - x_a)^k / (x_a - x_p) - ha_{max} & ; x > x_p \end{cases} \quad (6)$$

式(6)<sup>2)</sup>,  $\eta_{bc}$  は碎波床における波頂高さ(静水面以上の値),  $x_p$  は碎波床から plunging point までの水平距離,  $x_a$  は碎波床から気泡が最も深く進入する地点までの水平距離で、その時の空気連行水深を  $ha_{max}$  とする。なお、spilling breaker の場合では、式(6)とは異なつて  $ha(x)$  の表示式を必要とする。

4. 実験結果とその考察: 図-2と図-3はheavy plunging breakerの場合のエネルギー流束  $F_c^*$  とエネルギー流束  $E_c^*$  の変化を示したものであり、 $F_c^*$  と  $E_c^*$  はそれぞれ碎波床におけるエネルギー流束とエネルギーを示す。また、 $F_c^* = F_c - (1-k)F_a$ ,  $E_c^* = E_c - (1-k)E_a$  である。気泡連行領域の  $k$  の値が正確に判らなければ、 $k=1, 0.9$  と  $0.8$  と三種類変化させて計算を行なつて。図-2によれば、 $k=1, 0.9, 0.8$  と小さくなるにつれて  $F_c^*/F_{cB}$  は小さくなり、連行気泡の効果が認められる。この連行気泡の効果は本実験を行なつて heavy plunging breaker の場合に  $k=0.8$  で最大で  $F_c^*/F_{cB} + 12\sim14\%$  にも及ぶことが認められる。

一方、図-3に示すエネルギー  $E_c^*$  の場合につけても同様の事が認められ、 $k=0.8$  の場合、 $E_c^*$  は最大で碎波床の値  $E_{cB}^*$  の15%程度も補正しなければならず、連行気泡量の効果は場合によって無視できないことが指摘されるよう。

5. 結論: 以上、エネルギーとエネルギー流束に及ぼす連行気泡量の効果について述べてきたが、空気連行領域の流体の平均密度  $\rho'$  の正確な推算が必要となる。継続して検討を加えていきたい。

参考文献: 1) 岩田・布藤・奥田; 中部支部年講, 1985, 2) 岩田・小山・布藤; 海講論文集, 1984.

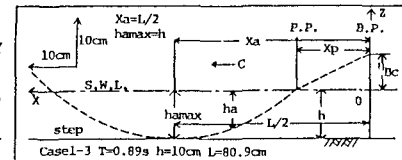


図-1 気泡混入領域

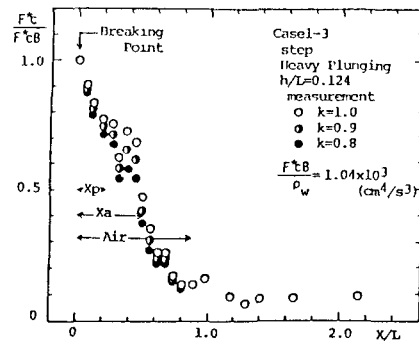


図-2 エネルギー流束の変化

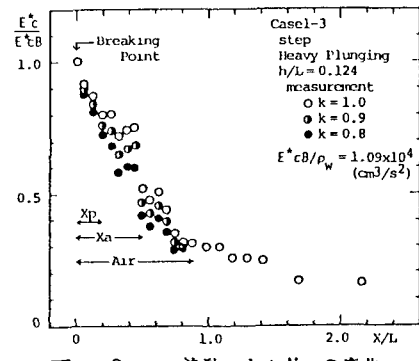


図-3 波動エネルギーの変化